

لَهُ الْحَمْدُ لِلّٰهِ الرَّحْمٰنِ الرَّحِيْمِ



دانشگاه تربیت مدرس
دانشکده فنی و مهندسی

پایان نامه دوره کارشناسی ارشد مهندسی عمران-آب

تحقیقات آزمایشگاهی بررسی الگوی جریان در جت های سه بعدی دیواره ای آشفته

با مقطع دایره ای

دانشجو:

علی شجاعی زاده

استاد راهنما:

دکتر مسعود قدسیان

استاد مشاور:

دکتر سید علی اکبر صالحی نیشابوری

بهار ۱۳۸۹

تائیدیه هیات داوران

(برای پایان نامه)

اعضای هیئت داوران، نسخه نهائی پایان نامه آقای: علی شجاعی زاده

را با عنوان:

تحقیقات آزمایشگاهی بررسی الگوی جریان در جت های سه بعدی دیواره ای آشفته با مقطع
دایره ای

از نظر فرم و محتوی بررسی نموده و پذیرش آن را برای تکمیل درجه کارشناسی تأیید می کند.

اعضای هیئت داوران	نام و نام خانوادگی	رتبه علمی	امضاء
۱ - استاد راهنمای			
۲ - استاد مشاور			
۳ - استاد مشاور			
۴ - استاد ممتحن			
۵ - استاد ممتحن			
۶ - نماینده گروه			

تقدیم

این پایان نامه را تقدیم می کنیم به

پدرم، پشوانه جاودانه تمام عمرم

مادرم، اسوه آرامش و صبرم

برادرانم، مشاوران تنهاییم

و خواهرانم، شریپی های تمام سلطانم

تشکر و قدردانی

بر خود لازم می دانم از زحمات و راهنماییهای ارزنده جناب آقای دکتر مسعود قدسیان که استاد راهنمای اینجانب در انجام این پایان نامه بودند تقدیر و تشکر نمایم.
همچنین از زحمات استاد محترم جناب آقای دکتر علی اکبر صالحی نیشابوری به عنوان استاد مشاور این پایان نامه تشکر نموده و جا دارد از اساتید محترم جناب آقای دکتر فرزین نصیری صالح و جناب آقای دکتر جلال عطاری که زحمت داوری پایان نامه را بر عهده داشتند نیز سپاسگزاری نمایم.

علی شجاعی زاده

بهار ۱۳۸۹

چکیده

هر گاه جریان دارای ضخامت نسبتاً کم و سرعت زیاد وارد سیالی با سرعت کمتر از خود شود، میدان حاصل از تداخل این دو جریان جت نامیده می‌شود. در مسائل مهندسی، اکثر جت‌ها را در محدوده جت‌های آشفته مورد بحث قرار می‌دهند. جت‌های آرام در سرعت‌های پایین سیالات با ویسکوزیته بالا و در مقیاس‌های کوچک رخ می‌دهند. برای جریان عبوری از یک شکاف، عدد رینولدز معمولاً به صورت $Re = \rho v d / \mu$ بیان می‌شود که در آن V سرعت متوسط در محور شکاف، d بازدگی شکاف و μ و ρ به ترتیب چگالی و ویسکوزیته دینامیکی سیال است.

jet‌های محصور در ارتباط با مرزهایی در نزدیکی جریان هستند که آنها را نیز می‌توان از لحاظ ارتباط با مرزها به دو دسته جت آفست و جت دیواره‌ای تقسیم بنده کرد که در جت دیواره‌ای، یک دیواره موازی محور جت، منطبق بر محل انتشار قرار دارد. جریان عبوری از زیر دریچه در گروه این نوع جت‌ها قرار می‌گیرد. در جت‌های دیواره‌ای، میدان جریان را بر اساس استهلاک سرعت ماکریم می‌توان به سه منطقه هسته پتانسیل، منطقه استهلاک مشخصات و منطقه استهلاک شعاعی تقسیم بنده کرد.

تحقیقات زیادی از گذشته درباره جت‌های دیواره‌ای انجام شده است که نشان از کاربرد عمدۀ آنها و همچنین اهمیت آنها می‌باشد. با وجود تحقیقات فراوانی که بر روی این جت‌ها انجام شده است ولی تعداد کمی از کارهای انجام شده به بررسی پارامترهای آشفتگی در این گونه جت‌ها پرداخته‌اند. همچنین بیشتر آزمایش‌های انجام شده بر روی سطوح صاف انجام شده و آزمایشاتی که در آنها پارامترهای آشفتگی مورد بحث قرار گرفته و بر روی سطوح مختلف زیر و صاف انجام شده اند غالباً به صورت دو بعدی بوده‌اند.

در این نوشتار به بررسی آزمایشگاهی الگوی جریان پیرامون جت دیواره‌ای به منظور بررسی تأثیر تغییرات زبری بستر بر الگوی جریان شکل گرفته، میدان سرعت و تنش‌های رینولدز پرداخته شده است. بدین منظور ابتدا با انجام آزمایشات با استفاده از سرعت سنج سه بعدی برای برداشت هر سه مولفه سرعت جریان، داده‌های برداشت شده را مورد پردازش قرار داده و بعد از آن به ترسیم الگوهای جریان و مشخصه‌های آشفتگی با در نظر گرفتن تغییرات مورد نظر پرداخته شد. نتایج حاصل نشان داد که با افزایش زبری بستر نرخ رشد مقیاس طولی کاهش و نرخ استهلاک سرعت جت افزایش می‌یابد. مولفه u_1 شدت آشفتگی نیز با افزایش زبری بستر، افزایش یافته است. همچنین با فاصله گرفتن از جت، تنش برشی بستر کاهش یافته و با افزایش زبری بستر، تنش برشی هم روند افزایش داشته است.

کلید واژه: جت دیواره‌ای، الگوی جریان، تنش‌های رینولدز، مشخصه‌های آشفتگی، تنش برشی بستر، زبری، استهلاک سرعت

فهرست مطالب

صفحه	عنوان
۵	فهرست جداول
۵	فهرست شکل ها
۱	فصل ۱ - مقدمه
۱	۱-۱ پیشگفتار
۱	۲-۱ ضرورت تحقیق
۲	۳-۱ اهداف و ساختار پایان نامه
۴	فصل ۲ - مفاهیم پایه
۴	۱-۲ مقدمه
۴	۲-۲ تعریف عمومی جت ها
۵	۳-۲ انواع جت ها
۶	۴-۲ روند توسعه جت ها
۶	۱-۴-۲ روند توسعه جت آزاد
۷	۲-۴-۲ روند توسعه جت دیواره ای
۸	۵-۲ زیری
۹	۱-۵-۲ زیری معادل ماسه ای (k_s) Nikuradse
۱۰	۲-۵-۲ مشخصه های رسوب
۱۰	۳-۵-۲ منحنی دانه بندی
۱۱	۶-۲ جریان های آشفته و خصوصیات آشفتگی
۱۱	۱-۶-۲ تعریف جریان آشفته
۱۳	۲-۶-۲ تنش برشی در جریانات آشفته
۱۳	۳-۶-۲ لایه مرزی
۱۴	۴-۶-۲ خصوصیات آشفتگی
۱۸	فصل ۳ - مروری بر تحقیقات گذشته
۱۸	۱-۳ مقدمه
۱۸	۲-۳ مروری بر کارهای صورت گرفته
۳۸	فصل ۴ - تجهیزات مورد استفاده و برنامه ریزی انجام آزمایشات
۳۸	۱-۴ مقدمه
۳۸	۲-۴ تجهیزات مورد استفاده در آزمایشها
۳۸	۱-۲-۴ کanal مستقیم

۳۹	دبي سنج.....	-۲-۲-۴
۳۹	عمق سنج.....	-۳-۲-۴
۴۰	صف کن.....	-۴-۲-۴
۴۰	دریچه انتهايی کanal.....	-۵-۲-۴
۴۱	جت.....	-۶-۲-۴
۴۱	بستر های مورد آزمایش.....	-۷-۲-۴
۴۱	- بسترهای زبر.....	-۱-۷-۲-۴
۴۵	- بستر صاف.....	-۲-۷-۲-۴
۴۵	- وسایل اندازه گیری سرعت.....	-۸-۲-۴
۴۸	- مختصری در مورد عملکرد سرعت سنج.....	-۱-۸-۲-۴
۵۰	- برنامه ریزی به منظور انجام آزمایشات.....	-۳-۴
۵۰	- شبکه بندی.....	-۱-۳-۴
۵۰	- تعداد آزمایشها.....	-۲-۳-۴
۵۱	- پردازش داده ها.....	-۳-۳-۴
۵۱	- مقدمه بر فیلترینگ داده ها.....	-۱-۳-۳-۴
۵۴	- الگوريتم ها.....	-۲-۳-۳-۴
۵۶	- مراحل انجام آزمایشات.....	-۴-۳-۴
۵۹	فصل ۵- مشاهدات و تجزیه و تحلیل نتایج	
۵۹	- مقدمه.....	-۱-۵
۵۹	- بررسی الگوی جریان پیرامون جت دیواره ای.....	-۲-۵
۵۹	- توزیع سرعت در صفحه مرکزی جت:.....	-۱-۲-۵
۶۰	- تاثیر زبری بر روی مقیاس طولی.....	-۲-۲-۵
۶۲	- تاثیر زبری بر روی استهلاک سرعت.....	-۳-۲-۵
۶۳	- تاثیر زبری بر روی میدان جریان.....	-۴-۲-۵
۶۶	- ترسیم بردارهای سرعت.....	-۵-۲-۵
۶۶	- بردارهای سرعت در صفحه مرکزی جت.....	-۱-۵-۲-۵
۶۷	- بردارهای سرعت در راستای طولی.....	-۲-۵-۲-۵
۶۹	- بردارهای سرعت در پلان و تاثیر زبری بر آن.....	-۳-۵-۲-۵
۷۲	- بردارهای سرعت در راستای عرضی.....	-۴-۵-۲-۵
۷۳	- تاثیر زبری بر روی تنش های رینولدز و شدت آشفتگی.....	-۳-۵
۷۳	- تاثیر زبری بر روی تنش های رینولدز.....	-۱-۳-۵
۷۵	- تاثیر زبری بر روی شدت آشفتگی.....	-۲-۳-۵
۷۷	- بررسی مشخصه های آشفتگی.....	-۳-۳-۵
۸۰	- تاثیر زبری بر روی تنش برشی بستر.....	-۴-۵
۸۳	فصل ۶- نتیجه گیری و ارائه پیشنهادها	
۸۳	- نتیجه گیری.....	-۱-۶

۸۳	-۱-۱-۶ نتایج مربوط به الگوی جریان
۸۳	-۲-۱-۶ نتایج مربوط به تنش های رینولدز و شدت آشفتگی
۸۴	-۲-۶ پیشنهادها
۸۵	فهرست مراجع

فهرست جدول‌ها

عنوان	صفحه
جدول ۱-۳ : خلاصه‌ای از تحقیقات انجام شده بر روی جت‌های دیواره‌ای سه بعدی.....	۳۶
جدول ۱-۴ : کنترل یکنواختی مصالح با قطر متوسط 1.05 mm	۴۳
جدول ۲-۴ : کنترل یکنواختی مصالح با قطر متوسط 1.6 mm	۴۴
جدول ۳-۴ : کنترل یکنواختی مصالح با قطر متوسط 3.28 mm	۴۴
جدول ۴-۴ : مشخصات آزمایشها.....	۵۱
جدول ۱-۵ : مشخصات آزمایش‌های Wu و Rajaratnam	۶۱

فهرست شکل‌ها

عنوان	صفحه
شکل ۱-۱: پخش میدان جت [Launder and Rodi (1981)]	۱
شکل ۱-۲: توزیع سرعت ناشی از جت دیواره ای [Eriksson, 2003]	۱
شکل ۱-۳: انتشار جت در داخل محیط سیال [برومند، (۱۳۸۳)]	۴
شکل ۲-۱: روند توسعه جت آزاد [برومند، (۱۳۸۳)]	۶
شکل ۲-۲: پروفیل سرعت در نواحی مختلف در یک جت دیواره ای، (a) منطقه هسته پتانسیل ، (b) مناطق استهلاک مشخصات و استهلاک شعاعی [Padmanabham and Gowda (1991)]	۷
شکل ۲-۳: توسعه سه منطقه در جت دیواره ای (a) h/d=0.23 (b) , h/d=0.8	۷
شکل ۲-۴: توسعه سه منطقه در جت دیواره ای (a) h/d=0.23 (b) , h/d=0.8	Gowda (1991)
شکل ۲-۵: تعریف h/d	۸
شکل ۲-۶: روند توسعه جت دیواره ای دو بعدی [Syoginus et.al. (2007)]	۸
شکل ۲-۷: ارتفاع زبری، k_s و ارتفاع زبری ماسه ای	۹
شکل ۲-۸: رشد لایه مرزی بر روی یک صفحه تخت [صنیعی نژاد (۱۳۸۳)]	۱۱
شکل ۲-۹: پروفیل عرضی سرعت در جت دیواره ای [صنیعی نژاد (۱۳۸۳)]	۱۲
شکل ۲-۱۰: لایه مرزی هیدرودینامیکی تشکیل شده بر روی یک صفحه تخت [صنیعی نژاد (۱۳۸۳)]	۱۴
شکل ۲-۱۱: پروفیل سرعت در یک جریان آشفته و لایه های مختلف جریان مجاور دیواره [صنیعی نژاد (۱۳۸۳)]	۱۶
شکل ۳-۱: جت دیواره ای سه بعدی [Launder and Rodi (1983)]	۱۹
شکل ۳-۲: پخش طولی و جانبی جت دیواره ای سه بعدی، (a) جت دیواره ای آشفته با Re=1100 ، (b) جت دیواره ای آشفته با Re=4000	۱۹
شکل ۳-۳: طرح شماتیک جت دیواره ای دو بعدی	۲۰
شکل ۳-۴: پروفیل سرعت متوسط در نیم پهنهای جت، مقایسه بین سطح صاف و زبر	۲۰
شکل ۳-۵: میدان سرعت جریان در جت دیواره ای سه بعدی [Launder and Rodi (1983)]	۲۱
شکل ۳-۶: (b) تجهیزات آرمایشگاهی (c) زبری بستر [Wu and Rajaratnam(1990)]	۲۱
شکل ۳-۷: پروفیل سرعت و متغیر های استفاده شده [Wu and Rajaratnam(1990)]	۲۲
شکل ۳-۸: تشابه پروفیل سرعت در جهت های مختلف [Wu and Rajaratnam(1990)]	۲۳
شکل ۳-۹: پروفیل ساختار سرعت در جت دیواره ای سه بعدی [Law and Herlina(2002)]	۲۴
شکل ۳-۱۰: تشابه پروفیل سرعت در جهت جریان در صفحه مرکز جت با Re=5500	۲۴
شکل ۳-۱۱: تشابه پروفیل سرعت در جهت جریان در صفحه مرکز جت برای عدد رینولدز های مختلف	۲۵
شکل ۳-۱۲: پروفیل سرعت W با Re=12200	۲۵

شکل ۳-۳: (a) تشابه پروفیل سرعت U در جهت عرضی در $z=z_m$ برای $Re=5500$ ،	۲۶
(b) تشابه پروفیل سرعت U در جهت عرضی در $z=z_m$	۲۶
شکل ۴-۳: استهلاک ماکزیمم سرعت میانگین [Law , Herlina(2002)]	۲۷
شکل ۵-۳: (a) تغییرات نیم ارتفاع سرعت در امتداد خط مرکزی جت (b) تغییرات نیم پهنه ای سرعت [Law , Herlina(2002)]	۲۷
شکل ۶-۳: (a) تغییرات شدت آشفتگی مولفه u در جهت جریان (b) تغییرات شدت آشفتگی مولفه w در جهت جریان [Law , Herlina(2002)]	۲۸
شکل ۷-۳: تغییرات شدت آشفتگی مولفه u در جهت عرضی جریان [Law , Herlina(2002)]	۲۹
شکل ۸-۳: تشابه پروفیل های سرعت(همه آزمایشات)	۳۱
شکل ۹-۳: توزیع عمودی u برای $U=1.21 \text{ m/s}$ روی بستر هایی با زبری (a)	۳۳
$d_{50}=0.49 \text{ mm}$, (b) $d_{50}=0.8 \text{ mm}$, (c) $d_{50}=1.86 \text{ mm}$, (d) $d_{50}=3 \text{ mm}$	
شکل ۱۰-۳: بردارهای سرعت بی بعد شده برای $U=1.21 \text{ m/s}$ روی بستر هایی با زبری [Dey ,Sarkar(2008)] (a) $d_{50}=0.49 \text{ mm}$, (b) $d_{50}=0.8 \text{ mm}$, (c) $d_{50}=1.86 \text{ mm}$, (d) $d_{50}=3 \text{ mm}$	۳۴
شکل ۱۱-۳: توزیع افقی u برای آزمایش های مختلف [Dey ,Sarkar(2008)]	۳۵
شکل ۱-۴: (a) نمای کلی از کanal آزمایشگاهی مستقیم ، (b) نمای شماتیک از محدوده مورد آزمایش	۳۸
شکل ۲-۴: دبی سنج	۳۹
شکل ۳-۴: عمق سنج	۴۰
شکل ۴-۴: صاف کن	۴۰
شکل ۵-۴: دریچه انتهایی کanal	۴۱
شکل ۶-۴: نمای شماتیک از کanal با تجهیزات مربوطه	۴۱
شکل ۷-۴: جت ورودی به کanal	۴۲
شکل ۸-۴: مصالح با قطر متوسط $1/0.5 \text{ میلیمتر}$	۴۲
شکل ۹-۴: (a) درصد وزنی رد شده و مانده بر روی الک ها برای مصالح با قطر متوسط $1/0.5 \text{ میلیمتر}$, (b) نمودار دانه بندی مصالح با قطر متوسط $1/0.5 \text{ میلیمتر}$	۴۳
شکل ۱۰-۴: نمودار دانه بندی مصالح با قطر متوسط $1/6 \text{ میلیمتر}$	۴۴
شکل ۱۱-۴: نمودار دانه بندی مصالح با قطر متوسط $3/28 \text{ میلیمتر}$	۴۴
شکل ۱۲-۴: (a) مصالح با قطر $3/28 \text{ میلیمتر}$ ، (b) مصالح با قطر $1/6 \text{ میلیمتر}$	۴۵
شکل ۱۳-۴: بستر صاف	۴۵
شکل ۱۴-۴: دستگاه ADV حین برداشت داده	۴۶
شکل ۱۵-۴: مقایسه بین سرعت سنج وکترینو و سرعت سنج میکرو ADV[Lohrmann, Malzone (2004)]	۴۷
شکل ۱۶-۴: اجزاء تشکیل دهنده سرعت سنج سه بعدی Vectrino	۴۸
شکل ۱۷-۴: نحوه عملکرد شماتیک پروب در Vectrino	۴۹
شکل ۱۸-۴: نحوه تقاطع شاخکهای پروب	۴۹

- شکل ۱۹-۴: جهات محورهای مربوط به مولفه های سرعت ۴۹
- شکل ۲۰-۴: نمونه ای از شبکه بندی انجام شده برای برداشت میدان سرعت ۵۰
- شکل ۲۱-۴: مثالی از داده ADV که شامل spike از اندازه گیری در نزدیکی بستر می باشد [۵۲ Goring and Nikora,(2002)]
- شکل ۲۲-۴: ابری از داده های اندازه گیری توسط ADV که مشتقات توسط g مقیاس دار شده اند توسط فضای فازی نشان داده شده است [Goring and Nikora (2002)] ۵۴
- شکل ۱-۵: نمای شماتیک جت دیواره ای سه بعدی ۵۹
- شکل ۲-۵: توزیع سرعت در صفحه مرکزی جت برای $U=1.671 \text{ m/s}$ و $d_{50}=1.05 \text{ mm}$ ۶۰
- شکل ۳-۵: توزیع سرعت در صفحه مرکزی جت [Wu and Rajaratnam(1990)] ۶۰
- شکل ۴-۵ : نرخ رشد مقیاس طولی برای زبری های مختلف ۶۱
- شکل ۵-۵ : نرخ رشد مقیاس طولی برای آزمایش های مختلف [Wu and Rajaratnam(1990)] ۶۱
- شکل ۶-۵: نرخ رشد مقیاس طولی برای عدد رینولدز های مختلف [Law and Herlina)(2002)] ۶۲
- شکل ۷-۵ : نرخ استهلاک سرعت جت برای زبری های مختلف ۶۲
- شکل ۸-۵: استهلاک سرعت به ازای رینولدز های مختلف ۶۳
- شکل ۹-۵: توزیع عمودی u برای $d_{50}=1.6 \text{ mm}$ (b) $d_{50}=1.05 \text{ mm}$ (a) و زبری بستر ($u=1.671 \text{ m/s}$) بستر صاف ۶۴
- شکل ۱۰-۵: توزیع عمودی w برای $u=1.671 \text{ m/s}$ و زبری بستر ($d_{50}=3.28 \text{ mm}$ (c)) ۶۵
- شکل ۱۱-۵ : توزیع عمودی v برای $u=1.21 \text{ m/s}$ و زبری های بستر ($d_{50}=0.49 \text{ mm}$, (b) $d_{50}=0.8 \text{ mm}$, (c) $d_{50}=1.86 \text{ mm}$ [Dey ,Sarkar (2008)]) ۶۶
- شکل ۱۲-۵: بردارهای سرعت رسم شده برای $u=1.671 \text{ m/s}$ و زبری های بستر ($d_{50}=3.28 \text{ mm}$ (b) ۶۷
- شکل ۱۳-۵ : بردارهای سرعت در راستای طولی برای $U=1.67 \text{ m/s}$ در $y=10 \text{ cm}$ و برای زبری های بستر ($d_{50}=3.28 \text{ mm}$ (b) ۶۸
- شکل ۱۴-۵ : بردارهای سرعت در راستای طولی برای $U=1.67 \text{ m/s}$ در $y=20 \text{ cm}$ و برای زبری های بستر ($d_{50}=3.28 \text{ mm}$ (b) ۶۸
- شکل ۱۵-۵: الگوی جریان برای جت در تراز ۵/۰ سانتیمتری از کف برای $u=1.671 \text{ m/s}$ و برای زبری های بستر (a) ۶۹
- شکل ۱۶-۵: الگوی جریان برای جت در تراز ۳ سانتیمتری از کف برای $u=1.671 \text{ m/s}$ و برای زبری های بستر (a) ۷۰
- شکل ۱۷-۵: الگوی جریان برای جت در تراز ۶ سانتیمتری از کف برای $u=1.671 \text{ m/s}$ و برای زبری های بستر (a) ۷۰
- شکل ۱۸-۵: الگوی جریان برای جت در تراز ۱۲ سانتیمتری از کف برای $u=1.671 \text{ m/s}$ و برای زبری های بستر (a) ۷۱

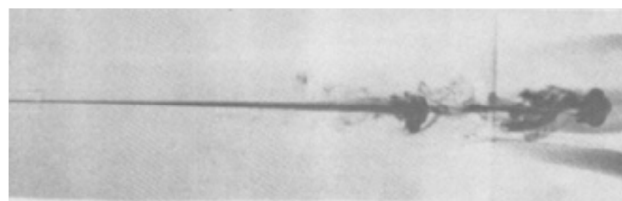
- شکل ۱۹-۵: الگوی جریان برای جت در تراز ۱۸ سانتیمتری از کف برای $u=1.671 \text{ m/s}$ و برای زبری های بستر (a) $d_{50}=3.28 \text{ mm}$ (b) $d_{50}=1.05 \text{ mm}$ ۷۱
- شکل ۲۰-۵: خطوط جریان عرضی به فاصله $x/d=3.25$ از جت و برای $u=1.671 \text{ m/s}$ و برای زبری های بستر (a) $d_{50}=3.28 \text{ mm}$ (b) $d_{50}=1.05 \text{ mm}$ ۷۲
- شکل ۲۱-۵: خطوط جریان عرضی به فاصله $x/d=15$ از جت و برای $u=1.671 \text{ m/s}$ و برای زبری های بستر (a) $d_{50}=3.28 \text{ mm}$ (b) $d_{50}=1.05 \text{ mm}$ ۷۲
- شکل ۲۲-۵: خطوط جریان عرضی به فاصله $x/d=35$ از جت و برای $u=1.671 \text{ m/s}$ و برای زبری های بستر (a) $d_{50}=3.28 \text{ mm}$ (b) $d_{50}=1.05 \text{ mm}$ ۷۳
- شکل ۲۳-۵: خطوط جریان عرضی به فاصله $x/d=45$ از جت و برای $u=1.671 \text{ m/s}$ و برای زبری های بستر (a) $d_{50}=3.28 \text{ mm}$ (b) $d_{50}=1.05 \text{ mm}$ ۷۳
- شکل ۲۴-۵: توزیع عمودی $\mathbf{u}\mathbf{w}$ برای $U=1.67 \text{ m/s}$ و برای زبری های مختلف، (a) $d_{50}=1.6 \text{ mm}$ (b) $d_{50}=3.28 \text{ mm}$ (c) $d_{50}=1.05 \text{ mm}$ ۷۴
- شکل ۲۵-۵: توزیع عمودی $\mathbf{u}\mathbf{v}$ برای $U=1.21 \text{ m/s}$ روی بستر هایی با زبری [Dey ,Sarkar (2008)] ۷۵
- شکل ۲۶-۵: توزیع عمودی \mathbf{u} برای $U=1.67 \text{ m/s}$ و برای زبری های مختلف، (a) $d_{50}=0.49 \text{ mm}$, (b) $d_{50}=0.8 \text{ mm}$, (c) $d_{50}=1.86 \text{ mm}$, (d) $d_{50}=3 \text{ mm}$ ۷۶
- شکل ۲۷-۵: توزیع عمودی $\mathbf{v}+\mathbf{w}$ برای $U=1.67 \text{ m/s}$ و برای زبری بستر ۷۷
- شکل ۲۸-۵: تغییرات در جهت طول مولفه u شدت آشفتگی برای زبری های بستر (a) $d_{50}=3.28 \text{ mm}$ (b) $d_{50}=1.05 \text{ mm}$ ۷۸
- شکل ۲۹-۵: تغییرات در جهت طول مولفه w شدت آشفتگی برای زبری های بستر (b) $d_{50}=3.28 \text{ mm}$ (a) $d_{50}=1.05 \text{ mm}$ ۸۰
- شکل ۳۰-۵: توزیع افقی τ برای زبری های مختلف ۸۱
- شکل ۳۱-۵: روند افزایشی تنفس برشی سی بعد شده بستر نسبت به افزایش زبری ۸۱

فصل اول
مقدمه

فصل ۱ - مقدمه

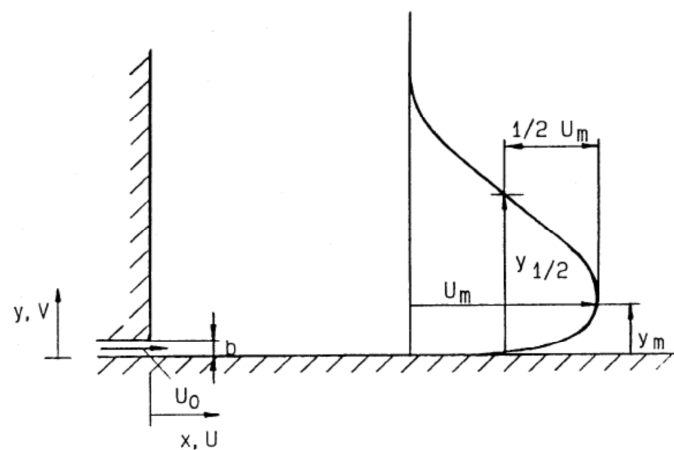
۱-۱- پیشگفتار

هرگاه جریان دارای ضخامت نسبتاً کم و سرعت زیاد، وارد سیال با سرعت کمتر از خود گردد، میدان حاصل از تداخل این دو جریان جت نامیده می شود (شکل ۱-۱). جت ها را می توان از جهت حد فاصل محل تخلیه تا مرزهای محدود کننده به دو دسته جت های آزاد و جت های محصور تقسیم بندی کرد. در جت های دیواره ای، یک دیواره موازی محور جت، منطبق بر محل انتشار قرار دارد. جریان عبوری از زیر دریچه در گروه این نوع جت ها قرار می گیرد.



شکل ۱-۱: پخش میدان جت [Launder and Rodi (1981)]

توزیع سرعت ناشی از جت دیواره ای نشان می دهد که دو ناحیه جریان وجود دارد، منطقه بین جداره (بستر) و محلی که سرعت ماکزیمم است به منطقه لایه مرزی موسوم است و منطقه ما بین سرعت ماکزیمم و سطح آزاد که به منطقه اختلاط آزاد موسوم است (شکل ۱-۲).



شکل ۱-۲: توزیع سرعت ناشی از جت دیواره ای [Eriksson, 2003]

۱-۲- ضرورت تحقیق

در مقایسه با تحقیقاتی که روی جت های دیواره ای دو بعدی با نازل های مختلف انجام شده است بر روی جت دیواره ای سه بعدی تحقیقات محدودی انجام شده است. اولین مطالعات آزمایشگاهی روی جت

دیواره ای سه بعدی توسط Sforza و همکاران وی در سال ۱۹۶۴ آغاز شد. در ادامه نیز تحقیقات زیادی در مورد این گونه جت‌ها، بویژه جت‌های دیواره ای دو بعدی انجام شده است.

اما آنچه که مسلم است و بایستی به آن توجه کرد این است که با توجه به تحقیقاتی که بر روی جت های دیواره ای تا به امروز انجام شده است، تحقیقات کاملی در مورد تاثیر زبری بستر بر روی پارامترهای آشфтگی این نوع جتها در ابعاد سه بعدی انجام نشده است و آزمایشاتی هم که در آنها پارامتر های آشфтگی مورد بحث قرار گرفته و بر روی سطوح مختلف زبر و صاف انجام شده اند غالباً به صورت دو بعدی بوده اند و این حاکی از آن است که هنوز جای تحقیق بر روی این گونه جت ها وجود دارد و ضرورت تحقیق را بر روی این گونه جت ها نشان می دهد.

۱-۳-اهداف و ساختار پایان نامه

در این تحقیق بررسی تاثیرات زبری بستر بر روی پارامترهای آشفتگی در این نوع جت‌ها در شرایط کف صلب انجام می‌شود. هدف از انجام این تحقیق بررسی میدان جریان ایجاد شده توسط جت‌های دیواره‌ای و بررسی برخی از پارامترهای آشفتگی این نوع جت‌ها در شرایط هیدرولیکی مختلف(عدد رینولدزها و زبری‌های مختلف) می‌باشد.

سوالاتی که در مورد تحقیقات آزمایشگاهی روی جت دیواره ای می تواند مطرح شود و در این تحقیق سعی بر آن است که پاسخ این سوالات با توجه به تحقیقات آزمایشگاهی بررسی شود عبارتند از: اثرتغییرزبری بستر بر پارامترهای آشفتگی (носانات سرعت، تنش های رینولذ، پارامترهای آشفتگی و ...)، میدان جریان سرعت میانگین جت چگونه است؟

در ادامه در فصل دوم به مرور مفاهیم پایه راجع به زبری و آشفتگی و معرفی جت دیواره ای پرداخته می شود. در فصل سوم مروری بر تحقیقات گذشته انجام شده است. در فصل چهارم تجهیزات مورد استفاده و برنامه ریزی انجام آزمایشات بیان شده است. در فصل پنجم مشاهدات و تجزیه و تحلیل نتایج آورده شده است و در نهایت در فصل ششم نتایج حاصل ارائه و پیشنهادها بیان شده است.

فصل دوم
مفاهیم پایه

فصل ۲- مفاهیم پایه

۱-۱- مقدمه

در این فصل ابتدا مرواری بر تعریف جت ها ، انواع آنها و همچنین روند توسعه آنها انجام شده و در ادامه کلیاتی در مورد مفهوم زبری ، بررسی مشخصه های رسوب، زبری معادل ماسه ای، همچنین بستر هایی که از نظر هیدرولیکی یکنواخت نامیده می شوند و در نهایت تعریف و خصوصیات جریان آشفته، صورت گرفته است.

۲-۲- تعریف عمومی جت ها

هر گاه جریان دارای ضخامت نسبتاً کم و سرعت زیاد وارد سیالی با سرعت کمتر از خود شود، میدان حاصل از تداخل این دو جریان جت نامیده می شود. در شکل شماره ۱-۲ طرح شماتیکی از انتشار یک جت در داخل سیال اطرافش نشان داده شده است.



شکل ۲-۱: انتشار جت در داخل محیط سیال [برومند، (۱۳۸۳)]

در مسائل مهندسی، اکثر جت ها را در محدوده جت های آشفته مورد بحث قرار می دهند. جت های آرام در سرعت های پایین سیالات با ویسکوزیته بالا و در مقیاس های کوچک رخ می دهند. برای جریان عبوری از یک شکاف، عدد رینولدز معمولاً به صورت $Re = \rho v d / \mu$ بیان می شود که در آن $7 \leq Re \leq 10^3$ سرعت متوسط در محور شکاف، d بازشدگی شکاف و ρ و μ به ترتیب چگالی و ویسکوزیته دینامیکی سیال است. در جریان داخل لوله ها، ناحیه انتقالی از حالت آرام به آشفته در محدوده اعداد رینولدز $Re < 2 \times 10^3$ تعریف می شود. در مورد جت ها زمانی که $Re > 3 \times 10^4$ باشد، جریان به صورت کاملاً آشفته مورد بحث قرار می گیرد [Johnston, 1978].

۳-۲- انواع جت ها

جت های مورد بحث از لحاظ مقطع ورودی، می توانند به دسته های زیر تقسیم بندی شوند:

- جت صفحه ای دو بعدی^۱ : جتی که از نواری خارج شده و وارد سیال ساکن می شود. این جت در جهات طول و عمق توسعه یافته و سیستم مختصات کارترین دو بعدی (x,y) برای آن تعریف می شود.
- جت صفحه ای سه بعدی^۲ : از روزنه مستطیل شکلی که هم عرض کanal نیست، جریان با سرعت زیاد خارج شده و علاوه بر جهات عمق و طول در جهت عرضی نیز داخل سیال کم سرعت پخش می شود.
- جت دایره ای^۳ : این جت از داخل شکاف دایره ای شکل و یا لوله حلقوی خارج می شود. برای چنین جتی سیستم مختصات استوانه ای (z,r,θ) معرفی می شود.
- جت استوانه ای^۴ : استوانه ای داخل سیالی با سرعت کم قرار دارد. در اطراف استوانه شکاف هایی وجود دارد که سیالی با سرعت زیاد از این شکاف ها خارج شده و تشکیل جت استوانه ای را می دهد.

از نظر مرزهای جامد محدود کننده، جت ها را می توان به دو دسته اصلی تقسیم بندی نمود:

- جت های آزاد^۵ : اگر مرزها به حد کافی از منشا جت دور باشند، می توان جریان را در زمرة یک جت آزاد مورد بحث قرار داد.
- جت های محصور^۶ : این جت ها در ارتباط با مرزهایی در نزدیکی جریان هستند که آنها را نیز می توان از لحاظ ارتباط با مرزها به صورت زیر طبقه بندی نمود:
 - جت سطحی^۷ : در این جت، محل انتشار منطبق بر سطح آزاد سیال و محور جت موازی آن بوده که جت پس از انتشار بر روی این سطح حرکت می کند. به عنوان نمونه، جریان آب رودخانه در حین ورود به مخزن سد، از این نوع جت ها می باشد.
 - جت دیواره ای^۸ : در این نوع جت، یک دیواره موازی محور جت، منطبق بر محل انتشار قرار دارد. جریان عبوری از زیر دریچه در گروه این نوع جت ها قرار می گیرد.

¹ 2D-Plane Jet

² 3D-Plane Jet

³ Circular Jet

⁴ Radial Jet

⁵ Free Jet

⁶ Confined Jet

⁷ Surface Jet

⁸ Wall Jet